

Documentation preserved at the Geophysical Institute of the Academy of Sciences of the Czech Republic (Prague), reproduced on 2005 by SGA Storia Geofisica Ambiente (Bologna) on behalf of the Istituto Nazionale di Geofisica e Vulcanologia (Rome), in the frame of the EUROSEISMOS project.

These data are considered public domain and may be freely distributed or copied for non-profit purposes provided the project is properly quoted.

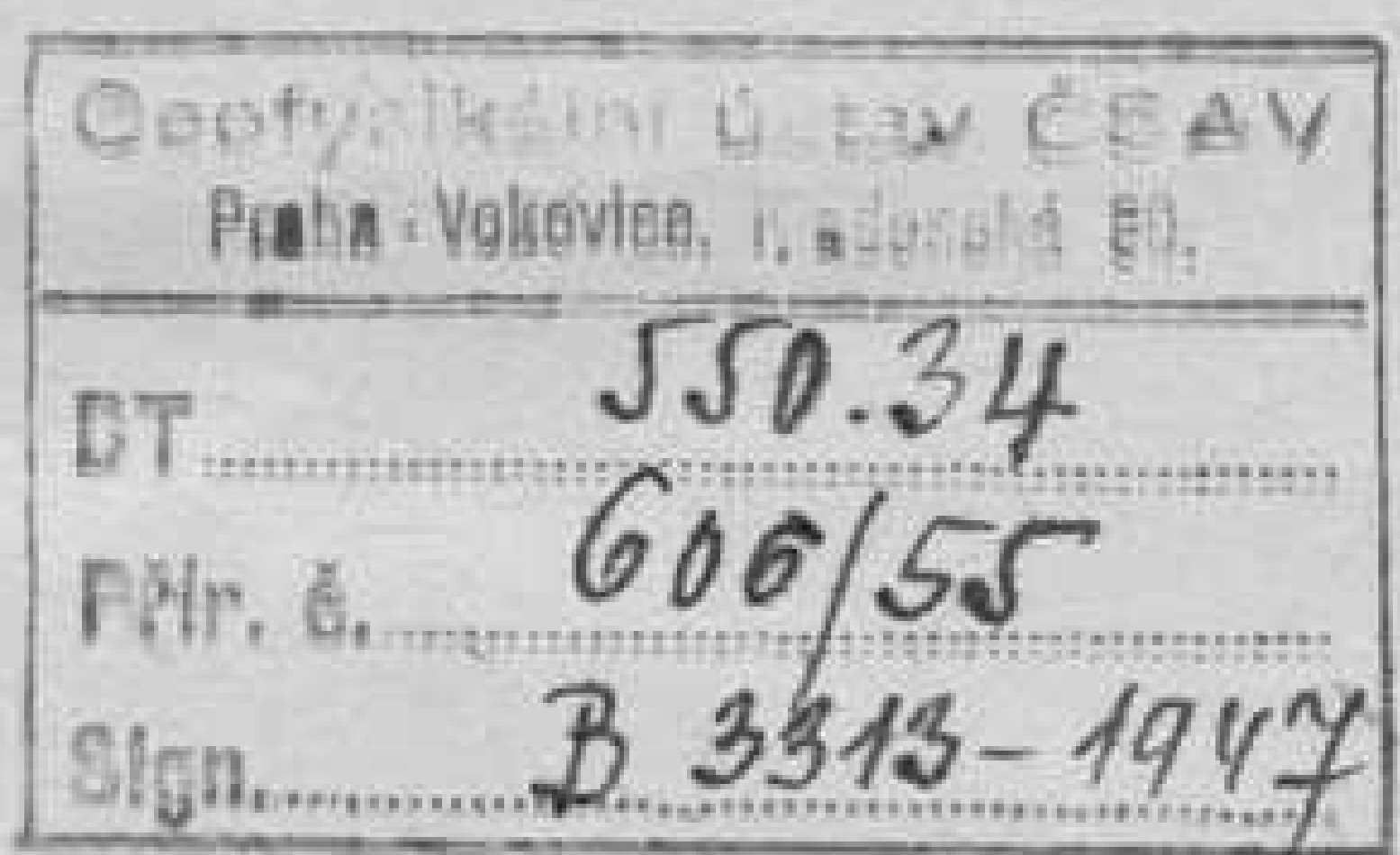
Čs. státní ústav geofysikální
Institut Géophysique National Tchécoslovaque
Directeur: Prof. Dr. B. Salamon

1733

Bulletin séismique
des stations séismologiques
de Praha et de Cheb
Année 1947

par

A. Zátopek et J. Vlček (Praha)
G. Irgang (Cheb)



Praha 1948

Státní ústav geofysikální Praha II, Dittrichova 13, Tchécoslovaquie

Documentation preserved at the Geophysical Institute of the Academy of Sciences of the Czech Republic (Prague), reproduced on 2005 by SGA Storia Geofisica Ambiente (Bologna) on behalf of the Istituto Nazionale di Geofisica e Vulcanologia (Rome), in the frame of the EUROSEISMOS project.

These data are considered public domain and may be freely distributed or copied for non-profit purposes provided the project is properly quoted.

Table des matières

1. Avant - propos	5
2. Explication des signes	7
3. Zátopek - Vlček, Observations séismiques de Praha, année 1947 . .	9
4. Ir gang, Observations séismiques de Cheb, année 1947	49

Documentation preserved at the Geophysical Institute of the Academy of Sciences of the Czech Republic (Prague), reproduced on 2005 by SGA Storia Geofisica Ambiente (Bologna) on behalf of the Istituto Nazionale di Geofisica e Vulcanologia (Rome), in the frame of the EUROSEISMOS project.

These data are considered public domain and may be freely distributed or copied for non-profit purposes provided the project is properly quoted.

Avant-propos

La présente publication concernant les observations des stations séismologiques de Praha et de Cheb pendant l'année 1947 représente la suite de la série du „BULLETIN SÉISMIQUE“ de L'INSTITUT GÉOPHYSIQUE NATIONAL TCHÉCOSLOVAQUE de PRAHA.

Les deux stations mentionnées ont fonctionné normalement, sauf quelques interruptions à Cheb dues à des réparations des instruments, mais celles-ci ne dépassent jamais une demi-journée. Les séismogrammes de la station de Praha ont été analysés par le Docteur A. Zátopek, chef du service séismologique en Tchécoslovaquie, et M. J. Vlček, travailleur scientifique de l'Institut. Les travaux techniques étaient effectués par M. J. Nykles, employé de l'Institut. A Cheb, l'analyse des feuilles a été réalisée par le Docteur G. Irgang, chef de la station. La rédaction générale du bulletin se trouvait entre les mains de M. Zátopek avec la collaboration de MM. Vlček et Nykles.

Comme il est déjà dit dans l'avant-propos du bulletin précédent (1946), le volume suivant contiendra les deux années 1944 et 1945.

Dr B. Šalamon,
Directeur.

Institut Géophysique National Tchécoslovaquie
Dittrichova 13, Praha II,
Tchécoslovaquie.

Documentation preserved at the Geophysical Institute of the Academy of Sciences of the Czech Republic (Prague), reproduced on 2005 by SGA Storia Geofisica Ambiente (Bologna) on behalf of the Istituto Nazionale di Geofisica e Vulcanologia (Rome), in the frame of the EUROSEISMOS project.

These data are considered public domain and may be freely distributed or copied for non-profit purposes provided the project is properly quoted.

Explication des signes:

1. Composantes:

N = Nord—Sud

E = Est—Ouest

Z = verticale

2. Constantes des séismographes:

T_o = période propre de l'instrument

V_o = agrandissement

$\varepsilon : 1$ = rapport d'amortissement

r = élongation maximum de la friction

3. Notation des phases en séismogrammes:

Heure } = temps universel UT = temps moyen de Greenwich (TMG), calculé
h m s } de minuit à minuit

A_N = amplitude du mouvement du sol sur la composante N, mesurée de la position d'équilibre, + vers le Nord, — vers le Sud

A_E = celle à la composante E, + vers l'Est, — vers l'Ouest

A_Z = celle à la composante Z, + vers le haut (compression C), — vers le bas (dilatation D)

Δ = distance épcentrale

φ = largeur géographique, N ou S

λ = longueur géographique, E ou W

h = profondeur du foyer

H = heure origine

i = commencement brusque (impetus) d'une phase

c = début peu marqué d'une phase (émersion)

F = fin du mouvement perceptible

P = ondes longitudinales préliminaires; séismes proches ont P_n

P^* = ondes individuelles de Conrad

Documentation preserved at the Geophysical Institute of the Academy of Sciences of the Czech Republic (Prague), reproduced on 2005 by SGA Storia Geofisica Ambiente (Bologna) on behalf of the Istituto Nazionale di Geofisica e Vulcanologia (Rome), in the frame of the EUROSEISMOS project.

These data are considered public domain and may be freely distributed or copied for non-profit purposes provided the project is properly quoted.

P = ondes individuelles de Mohorovičić

P' = P_c P_c P = onde qui a passé le noyau

PP } = onde longitudinale { une fois } réfléchie, conservant le caractère
PPP } etc. { deux fois } de l'onde originale

S, S_n } = ondes préliminaires transversales
S* } S

SS } = réflexions des ondes transversales
SSS } etc.

pS, PS, sP, SP = ondes transformées réfléchies une fois à la surface de la terre
qui ont changé leur caractère

R_i PS etc. = ondes transformées des séismes proches d'après Mohorovičić

PPS etc. = ondes transformées avec deux réflexions suivant la notation

S_c P_c S = onde transversale dans le manteau et longitudinale dans le noyau

S_c P_c P = onde d'abord transversale dans le manteau, puis longitudinale dans le noyau et le manteau

S_c P_c SP = onde analogue à S_c P_c S, réfléchie à la surface comme P

S_c P_c P_c P = onde transformée: manteau S, noyau P, réflexion à la surface du noyau vers le centre, ensuite noyau P, manteau P

S_c P_c P_c S = la même onde, le dernier rayon S

L = ondes longues se propageant à la surface de la terre

M = maxima de longues ondes

L₂ = ondes longues de surface qui ont passé par l'antiépicentre

W₂, W₃ etc. = ondes superficielles maximum qui ont passé une fois, deux fois, etc. par l'antiépicentre

() = incertain

? = douteux

Documentation preserved at the Geophysical Institute of the Academy of Sciences of the Czech Republic (Prague), reproduced on 2005 by SGA Storia Geofisica Ambiente (Bologna) on behalf of the Istituto Nazionale di Geofisica e Vulcanologia (Rome), in the frame of the EUROSEISMOS project.

These data are considered public domain and may be freely distributed or copied for non-profit purposes provided the project is properly quoted.

**Observations séismiques
de la station séismologique
de Praha en 1947**

par

A. Zátopek et J. Vlček

Appareils:

I = Pendule astatique Wiechert, masse 1000 kg, amortissement d'air, composantes N et E, inscription mécanique

II = Vertical Wiechert, masse 80 kg, amortissement d'air, composante Z, inscription mécanique

Coordonnées des appareils:

I	$\varphi = 50^{\circ} 04' 13''$ N	$\lambda = 14^{\circ} 25' 59''$ E	$h = 225$ m
II	$\varphi = 50^{\circ} 04' 11''$ N	$\lambda = 14^{\circ} 25' 48''$ E	$h = 202$ m

Sous-sol:

- I schistes siluriennes
- II schistes siluriennes couvertes de couches de sable

10

Constantes 1947

Praha

Mois	Ap-pareil	C ^{te}	T _o (s)	V _o	$\frac{r}{T_o^2} \left(\frac{\text{mm}}{\text{sec}^2} \right)$	$\varepsilon : 1$	Vitesse de l'inscription
Janvier	I	N	9,7	219	0,0032	5,4	12 mm/min.
		E	9,7	220	0,0032	4,6	
Février	II	Z	3,9	64	0,043	3,8	15 mm/min. ca
	I	N	9,6	240	0,0033	4,8	
Mars	I	E	9,7	200	0,0032	4,7	12 mm/min.
	II	Z	4,0	60	0,025	4,9	
Avril	I	N	9,5	243	0,0033	4,8	12 mm/min.
	I	E	9,5	210	0,0033	4,3	
Avril	II	Z	4,0	58,5	0,031	4,9	15 mm/min. ca
	I	N	9,8	224	0,0031	4,6	
Avril	I	E	9,6	212	0,0033	5,5	12 mm/min.
	II	Z	3,9	63	0,037	4,4	
Mai	I	N	9,5	240	0,0033	5,7	12 mm/min.
	I	E	9,5	206	0,0033	4,7	
Juin	II	Z	3,9	63	0,034	6,2	15 mm/min. ca
	I	N	9,6	240	0,0033	5,8	
Juin	I	E	9,5	210	0,0033	4,1	12 mm/min.
	II	Z	4,0	60	0,041	5,4	
Juillet	I	N	9,7	238	0,0032	5,3	12 mm/min.
	I	E	9,8	198	0,0031	5,2	
Juillet	II	Z	4,0	61	0,042	5,6	15 mm/min. ca
	I	N	9,8	246	0,0031	5,1	
Août	I	E	9,7	202	0,0032	4,9	12 mm/min.
	II	Z	4,0	61	0,025	6,2	
Septembre	I	N	9,7	248	0,0032	5,1	12 mm/min.
	I	E	9,7	202	0,0032	5,1	
Septembre	II	Z	3,9	64	0,026	6,0	15 mm/min. ca
	I	N	10,4	250	0,0028	5,2	
Octobre	I	E	10,4	232	0,0028	5,1	12 mm/min.
	II	Z	3,9	63	0,046	5,5	
Novembre	I	N	10,2	240	0,0029	6,0	12 mm/min.
	I	E	10,1	224	0,0029	5,0	
Novembre	II	Z	4,0	58	0,031	6,6	14 mm/min. ca
	I	N	9,9	237	0,0031	5,9	
Décembre	I	E	9,9	229	0,0031	5,6	12 mm/min.
	II	Z	4,0	58	0,037	6,6	

Les valeurs des constantes se rapportent successivement toujours au commencement du mois.

Documentation preserved at the Geophysical Institute of the Academy of Sciences of the Czech Republic (Prague), reproduced on 2005 by SGA Storia Geofisica Ambiente (Bologna) on behalf of the Istituto Nazionale di Geofisica e Vulcanologia (Rome), in the frame of the EUROSEISMOS project.

These data are considered public domain and may be freely distributed or copied for non-profit purposes provided the project is properly quoted.

Praha

Janvier 1947

Date	Phase	Heure h m s T.M.G.	Période	Amplitude μ			Δ km	Remarques
				AN	AE	Az		
Janvier 3	eP	02 28,9					8700 78,3°	Agitation. Réplique du 21 décembre 1946, 45° N, 149° E (BCIS). Magnitude $6\frac{3}{4}$ (Pasadena).
	eS	38 55						
	eL	55						
	MNE	03 00	23	40	44			
	MNE	03	16	24	26			
	ME	05	15		21			
	MNE	07	15-14	28	18			
	MNE	09	14	14	15			
Janvier 3	F	04 30						
	eL	09 52					3	Forte agitation. Réplique du précédent.
	ME	59	15					
	MN	10 00	16	3				
	MN	02	15	3				
Janvier 5	F	dans l'agitation						
	e	19 08					2	Forte agitation.
	MNE	11	15-14	3				
	MNE	14	15	3				
	F	45						
Janvier 9	eL	12 56					7	Début masqué par l'agitation. Réplique du 21 Décembre 1946 (BCIS).
	MNE	59,5	22	6				
	ME	13 05	15 ca		3			
	MN	07	16	3				
	MNE	08	16-15	4	3			
	F	dans l'agitation						
Janvier 24	eP	17 00 14					8750 78,7°	Début faible et masqué par l'agitation. Réplique du 20 décembre 1946 (BCIS). Japon.
	eS	10 18						
	e	18,5						
	e	22,0						
	eL	31						
	MNE	35	14-15	8	6			
	MNE	37,5	16-14	6	4			
	MNE	39	12-13	6	8			
	ME	40	12		7			
	MN	41	13	8				
	F	18 30						

These data are considered public domain and may be freely distributed or copied for
non-profit purposes provided the project is properly quoted.

Praha

Date	Phase	Heure h m s T.M.G.	Période	Amplitude μ			Δ km	Remarques
				AN	AE	AZ		
Janvier 25	eL	04 31						Agitation. Trait de longues ondes régulières 04h 44m - 04h 52m. Epicentre 13° N, 88° W (USCGS). Magnitude 6-6 ½ (Pasadena).
	MNE	37,5	20	4	4			
	ME	40*	18		5			
	MN	42	17	2				
	MNE	44	15-16	1	3			
	ME	49	17		5			
	ME	05 38	17					
	ME	43,5	15					
	ME	45,5						
	F	06						
Janvier 26	iP	10 19 18	6-11	-2	+4		9700	Nicaragua 13° N, 86,5° W (USCGS), h = 100 km (BCIS). Magnitude 7 ½ - 7 ½ (Pasadena).
	ePP	22 44					87,2°	
	ePPP	24 37						
	SePcS	29 31						
	ePS	30 44						
	ePPS	31,5						
	eSS	34,4						
	cL	42						
	ME	49	29		40			
	MNE	51	15-21	16	13			
	MNE	53,5	17-18	6	16			
	MNE	55,5	18	6	16			
	MNE	58	17-15	7	9			
	MNE	11 00	12-15	4	9			
	F	12						
Janvier 28	e	10 44 30						Faible. Océan Indien 17,5° S, 70,5° E (A. Sc. URSS).
	e	47,2						
	MNE	56,5						
	F	11 15						
Janvier 29	eP	08 30 50					11400	Argentine 26,5° S, 63,7° W, h = 600 km (BCIS).
	ePP	35 03					103°	
	eScPcS	40 35						
	e	44 29						
	e(SS)	47 00						
	F	09 15						
Janvier 30	eE	12 42 31						Faible. Hindou-Kouch 37°00' N, 71°30' E, h = 200 km (A. Sc. URSS).
	eE	43 03						
	MNE	50	9					
	F	13						

Praha

Février 1947

Date	Phase	Heure h m s T.M.G.	Période	Amplitude μ			Δ km	Remarques
				AN	AE	AZ		
Février 4	e	06 58						Traces.
	ME	07 10						
	F	20						
Février 5	e	00 21,3						
	e(L)	25						
	MNE	28,5	12	1	1			
	F	45						
Février 5	e	15 38,5						
	eE	40,0						
	F	16						
Février 7	e	09 01,6						Agitation. Très éloigné. Epicentre 9,5° S, 161,5° E (BCIS). Magnitude 6 ½ (Pasadena).
	ePP	02,4						
	ePPP	15,5						
	eScPcS	17,0						
	eSS	20						
	eL	44						
	MNE	48	24-26	7	9			
	MNE	50	24-27	6	13			
	ME	52,5	25		10			
	MN	53,5	23	10				
Février 9	ME	55	21	6	11			
	MNE	59	19	7	4			
	F	11						
	ME	05 29						Agitation. Traces.
	ME	36,5	14					
	F	45						
Février 9	eL	19 34						
	MNE	37	17-14	4	2			Agitation. Iles Riou-Kiou 27,8° N, 128,1° E (A. Sc. URSS).
	MNE	40	14-12	2	1			
	F	20						

These data are considered public domain and may be freely distributed or copied for
non-profit purposes provided the project is properly quoted.

Praha

Date	Phase	Heure h m s T.M.G.	Période	Amplitude μ			Δ km	Remarques
				AN	AE	AZ		
Février 10	eP	04 11 25					(6020)	Agitation. S int. min. Himalaya 30° N, 82,5° E (A. Sc. URSS).
	eS	19(00)					(54,1°)	
	eSS	23,0						
	eL	27						
	MNE	33,5	23-22	140	56			
	MNE	35	17-18	30	26			
	ME	36,5	14		20			
	MN	37,5	20	140				
Février 10	F	06						
	e	17 32						Faible.
	MNE	35,5	14					
Février 12	F	45						
	e	20 45,8						
	MNE	53	19-17	6	3			
	MNE	55	12-14	2	2			
	MNE	59,5	12-10	2	2			
Février 14	F	21 30						
	e	17 51,6						Faible. Turquie (BCIS).
	MNE	54,5						
Février 15	F	18						
	e	01 01						Faible.
	MNE	04	16					
Février 16	F	15						
	e	09 52,2						Agitation. Région Riou-Kiou 25° N, 125° E (A. Sc. URSS).
	eL	10 00						
	MNE	06	14-17	1	2			
	MNE	11	11	1	1			
Février 17	F	45						
	eP	00 15 09					810	Piémont 44°45' N, 7°16' E (BCIS).
	eS	16 33					7,2°	
	MNE	17	3	1	1			
	MNE	18,5	4-3	1	1			
Février 17	F	25						

Praha

Date	Phase	Heure h m s T.M.G.	Période	Amplitude μ			Δ km	Remarques
				AN	AE	AZ		
Février 18	eP	13 41 15						Agitation. Japon 32,0° N, 138,0° E (A. Sc. URSS).
	S	51 42						
	eL	14 07						
	MNE	17	16	1	2			
	MNE	20	15	1	2			
	MNE	23	15-13	2	1			
Février 21	F	15						Agitation. Mer du Japon 36° N, 133° E (BCIS).
	e	22 31 29						
	eL	39,5						
	MNE	50	12-13	3	2			
	MNE	52,5	12-14	5	4			
	MNE	54,3	11	4	5			
Février 22	ME	57,5	12					Agitation.
	F	23 30						
	e	04 40,5						
	eL	46						
	ME	51	18	2				
Février 24	ME	53,5	16	1				Agitation. 19h 25m - 36m ondes régulières sur E. Pérou, vers 12° S, 69° W (BCIS).
	F	05 15						
	eP	17 46 08						
	eScPcS	56 35						
	eScPcPcS	57,3						
Février 27	eL	18 15						94,5°
	MNE	25	20-21	10	14			
	F	19 45						
	eL	20 15,5						
Février 27	ME	18	16	2				10500
	F	30						
	eL	20 15,5						

These data are considered public domain and may be freely distributed or copied for non-profit purposes provided the project is properly quoted.

Mars 1947

Date	Phase	Heure h m s T.M.G.	Période	Amplitude μ			Δ km	Remarques
				AN	AE	AZ		
Mars 2	eP'	19 29 15					13000	Nouvelle Guinée 5° S, 144,5° E (BCIS).
	ePP	30,1					117°	
	ePPP	32,2						
	eScPcS	35,9						
	eScPcPcS	37,3						
	ePS	39,4						
	eE	41,5						
	eSS	46,5						
	eSSS	51,0						
	eL	20 04						
	MNE	10-14	20-24	6	10			
	MNE	27	23-24	10	11			
Mars 8	MNE	19	22	9	10			Birmanie 27° N, 95,5° E (A. Sc. URSS).
	MNE	21,5	16-19	5	7			
	W	21 04	14					
	F	30						
Mars 10	eL	15 36						Agitation. M faible Epicentre vers 10° S, 12° W (BCIS), crête médiane de l'Atlantique.
	MNE	44	13-14					
	MNE	48	15-13	1	1			
	F	16 15						
Mars 11	e?	02 08 35						Disturbé par l'agita- tion. Crète (BCIS).
	e	16 05						
	e(SSS)	19,3						
	eL	22						
	MNE	28	15-14					
	F	03						
Mars 14	e	17 13,1						Traces d'une explo- sion près de Loun- (50°21' N, 13°48' E) NW de Praha.
	e(S)	1439						
	eL	15,2						
	ME	16	11		2			
	MN	17	10	2				
	F	30						

Praha

Praha

Date	Phase	Heure h m s T.M.G.	Période	Amplitude μ			Δ km	Remarques
				AN	AE	AZ		
Mars 16	e	10 (15,5)						Agitation. Pacifique au large de Philippines 22° N, 121° E (A. Sc. URSS).
	MNE	20	12	3	1			
	MNE	21,5	12-13	1	1			
	F	11						
Mars 17	P	08 29 56		-		+	6860	C. Agitation. Chine 35,0° N, 102,0° (A. Sc. URSS). Magnitude 7 $\frac{1}{2}$. (Pasadena).
	eS	38 20					61,8°	
	eSS	42,4						
	eSSS	45,0						
	eL	48						
	MNE	55	20-21	+1300	-650			
	M	58	12-14	170	-210	480		
	M	59,3	10-13	80	95	210		
	M	09 02	15-17	180	170	140		
	M	04	11-12	65	+48	95		
	M	05	15-12	75	60	35		
	F	dans l'agitation						
Mars 21	eP	23 04 19					1800	Masqué par l'agitation. Crète 23,7° N, 23,6° E (BCIS).
	eS	07 24					16,2°	
	eL	08,5						
	MNE	11,5	9-10	2	1			
	F	30						
Mars 25	eScPcP	20 56,6					18000	Agitation. Epicentre à l'Est de la Nouvelle Zélande 39° S, 178,5° E (USCGS).
	ePP	57 20					162°	
	ePPP	21 00,8						
	ePPP	04,0						
	>180°							
	eScPcSP	07,6						
	e	10 21						
	eE	13,5						
	eSS	17,9						
	e	20 23						
	eSSS	24,4						
	eSSSS	29						
	eL	43						
	ME	48,5	26		10			
	MNE	56	29-30	19	14			
	MNE	22 00	24-23	12	8			

These data are considered public domain and may be freely distributed or copied for
non-profit purposes provided the project is properly quoted.

Date	Phase	Heure h m s T.M.G.	Période	Amplitude μ			Δ km	Remarques
				AN	AE	AZ		
Mars 28	ME	01,5	23		12			
	MN	03	21	18				
	MN	05	22-20	13	14			
	MNE	07,5	21-20	6	19			
	MNE	11,5	19-22	15	24			
	F	23 30						
	e	03 46,5						Faible. Agitation. Mediterranée vers 33° N, 25,5° E (BCIS).
	MNE	54						
	F	04 15						
Mars 29	e?	08 00 18						
	e	01 25						
	eL	05,6						
	ME	07,5	11		1			
	F	20						

Avril 1947

Date	Phase	Heure h m s T.M.G.	Période	Amplitude μ			Δ km	Remarques
				AN	AE	AZ		
Avril 2	eP	05 54(42)					12000	Agitation. Début faible. Nouvelle Guinée. 1° S, 141° E (USCGS).
	eP'	58,0					108°	
	ePP	59 39						
	ePPP	06 01 08						
	eScPcS	04 14						
	e	05,6						
	eScPcPcS	06 10						
	ePS	07 31						
	ePPS	08 34						
	eSS	13,8						
Avril 10	eSSS	18,2						
	eL	28						
	MN	38	22	55				
	MNE	40,5	15-16	30	26			
	MNE	42	16-18	40	60			
	MN	44	17	38				
	MNE	48,5	18-19	30	75			
	ME	49,5	16		55			

Date	Phase	Heure h m s T.M.G.	Période	Amplitude μ			Δ km	Remarques
				AN	AE	AZ		
Avril 4	MNE	51					16	9000 81°
	MN	52					22-14	
	MNE	55					13-15	
	ME	57					16	
	MN	57,5					15	
	W	08 01					30	
	F	09 15					3	
Avril 10	eP	20 57 39						Forte agitation. Réplique du précédent (BCIS). 9260 83,4°
	ePP	21 00,3						
	eS	07 30						
	eSS	13,0						
	eSSS	17						
	eL	25						
	ME	34					4	
	MNE	38					3	
	ME	38,5					7	
	MN	39					1	
Avril 10-11	MNE	42					5	California 34°58' N, 116°32' W, magnitude 6,8 (Pasadena). Faible. Agitation. Océan Indien 38°S, 60,0° E (A. Sc. URSS).
	ME	46,5					3	
	MN	49					3	
	MNE	51,5					2	
	F	22 45						
Avril 4	eS	01 30 14						
	eL	51						
	ME	54					2	
	MN	55					2	
Avril 10	F	02 15						
	eP	16 10 46						
	e(PP)	13,2						
	eS	21 14						
	eL	30						
	ME	44					7	
	MN	46					12	
	MNE	47					10	
	F	17 45						
Avril 10-11	e	23 32						
	MNE	01 00					12	
	F	15						

These data are considered public domain and may be freely distributed or copied for
non-profit purposes provided the project is properly quoted.

Praha

Date	Phase	Heure h m s T.M.G.	Période	Amplitude μ			Δ km	Remarques
				AN	AE	AZ		
Avril 11	eP	14 42 19					9000	Formose 20,4° N, 121,7° E (BCIS).
	ePP	45 34					81°	
	S	52 27						
	eL	15 02						
	ME	17	17	2				
	MNE	20	14	2	3			
	MNE	22	13-12	1	2			
	MNE	24	13-16	2	5			
	ME	27	13		4			
	F	50						
Avril 12	eP	14 08 24					1350	Agitation. Début faible. Mer Egée 39°48' N, 26°39' E (Istanbul).
	eS	10 44					12,1°	
	eL	11,1						
	ME	12,5	15	18				
	MNE	13	11-12	12	12			
Avril 12	F	45						
	e	16 06,0						Réplique du préce- dent.
	ME	18	9	1				
	MNE	18,5	11	1				
Avril 13	F	30						
	e	18 17,7						Agitation.
	e	18,2						
	ME	24	11	1				
Avril 14	F	30						
	e	04 25						Noyé dans l'agita- tion.
	e	37,8						
	ME	42	20	4				
	ME	44	20	3				
Avril 14	F	05						
	eP	07 27 36					8500	Agitation. Japon 41,0° N, 148,5° E (A. Sc. URSS).
	e	27 40					76,5°	
	eS	37 28						
	eSS	43 36						
	eSS	46,7						
	eL	51						
	MNE	58,5	23-22	100	110			
	MNE	59,5	20-21	75	120			
	MNE	08 01	16-15	35	35			

Praha

Date	Phase	Heure h m s T.M.G.	Période	Amplitude μ			Δ km	Remarques
				AN	AE	AZ		
Avril 16	MNE	04		14	30	30	(1400) (12,6°)	Agitation. Début in- certain. Grèce vers 38° N, 21,5° E (BCIS).
	MNZ	06		15-23	65			
	MNE	07		12-18	38	40		
	MNE	09		19-13	40	28		
	ME	10,5		15		25		
	MN	12		14	45			
	WE	09 56						
	F	11						
	eP	13 25 (12)						
	eS	27 38						
Avril 18	eL	28,5					635 (calculé) 5,7°	Traces de l'explo- sion d'Heligolande. Agitation.
	MNE	30,5		9	6	6		
	F	14						
	eZ	11 01,6						
	e	03,5						
Avril 19	e	04,4					2800 25,1°	Disturbé par l'agi- tation. Turquie 37,7° N, 43,5° E BCIS
	eP	17 44 25						
	eS	48 52						
	ME	56		12		2		
	F	18 15						
Avril 19	eP	20 32 42					1400 12,6°	Agitation. Phases Gr. masquées. 39,8° N, 23,4° E (BCIS).
	eS	35 08						
	eL	36						
	ME	37		13		11		
	ME	38		13		12		
	MN	38,5		11	9			
	MN	40		8	5			
	F	21 15						
	eP	19 45 20						
	ePP	47 55						
Avril 24	ePPP	49,6					6700 60,2°	Agitation. Crête mé- diane de l'Atlantique 8° N, 37,5° W (USCGS). Magni- tude 6 $\frac{1}{4}$ (Pasadena).
	eS	53 34						
	eSS	57,7						
	eL	59						
	ME	20 04		27		28		
	MNE	05		13-23	5	29		
	ME	09		20		25		
	F	21 30						

These data are considered public domain and may be freely distributed or copied for
non-profit purposes provided the project is properly quoted.

Mai 1947

Praha

Date	Phase	Heure h m s T.M.G.	Période	Amplitude μ			Δ km	Remarques
				AN	AE	AZ		
Mai 2	e?	02 44,6	22					Agitation. Iles Aléoutiennes 54° N 164° W (USCGS).
	e(L)	53						
	ME	03 03		2				
	ME	08,5		17	2			
	F	30						
Mai 2	e	07 05 (05)	9					Agitation. Début masqué. Golfe de Gênes? (BCIS).
	e	06,0						
	ME	07		1				
	F	20						
Mai 3	e(P)	04 17 21	11					Agitation. Anatolie (BCIS).
	e	22 26						
	ME	24,0		1	1			
	MNE	26		7-10	1	1		
	F	45						
Mai 3	e	10 16	12					Agitation. Japon 35,5° N, 141,0° E (A. Sc. URSS).
	eL	18						
	ME	24		1	1			
	ME	28		15	2			
	F	11						
Mai 6	ePP	20 51 25	13500					Sud de la Nouvelle Bretagne 7° S, 150° E (USCGS). Magnitude 7 $\frac{1}{4}$ (Pasadena).
	ePPP	53,9						
	eScPcS	56,6						
	ePS	21 01,0						
	eSS	07,8						
	eSSS	12,4						
	eL	21						
	ME	28,5		35	80			
	MN	30		35	110			
	MNE	31-32		32-31	120	100		
	MN	39,5		22	100			
	ME	41		22	100			
	MNE	43,5		20	24	80		
	MN	44,5		18	38			
	ME	45,5		18		65		
	MNE	47,5		18	40	36		
	F	23 45						

Praha

Date	Phase	Heure h m s T.M.G.	Période	Amplitude μ			Δ km	Remarques
				AN	AE	AZ		
Mai 8	eP	18 55 (29)					(7650)	Agitation. Faible. Birmanie 27,0° N, 99,5° E (A. Sc. URSS).
	ePP	58,6						
	eS	19 04 22						
	eL	12						
	MNE	19		8				
	ME	23		14			Début faible. Mer d'Okhotsk 59,0° N 145,0° E (A. Sc. URSS).	Italie du Sud 38°33' N, 17° E (Roma).
	MNE	27		13				
	F	45						
Mai 10	e	00 37						
	e	42,6						
	ME	45,5		14		2	1490	Nouvelle Zélande 37,5° S, 180° E (USCGS).
	ME	46		13		1		
	F	01 15						
Mai 11	P	06 35 05						
	eS	37 40						
	eL	38,0					18000 ca	Agitation. Formose 22° N, 121,0° E (A. Sc. URSS).
	MNE	40,3		13-8	46	11		
	MN	41,7		7	8			
	F	07 15						
Mai 17	eP'	07 27,9						
	eScPcP	31 43					162° ca	Agitation. Formose 22° N, 121,0° E (A. Sc. URSS).
	eScPcS	35,5						
	eScPcPcS	38,4						
	cPPS	41,4						
	eSS	56,8						
	eSSS	08 02,7					Agitation. Formose 22° N, 121,0° E (A. Sc. URSS).	Agitation. Formose 22° N, 121,0° E (A. Sc. URSS).
	eL	05						
	MNE	25		26-28	7	17		
	MNE	27		25-18	8	5		
	ME	31		32		16		
Mai 25-26	MNE	40		20-22	13	36		
	MNE	45		18-21	14	15		
	ME	47		19		11		
	MN	49		17	13			
	F	10						
	e	23 44						
	MNE	51		14-13	1	1		
	MNE	54		14	1	1		
	F	00 10						

These data are considered public domain and may be freely distributed or copied for
non-profit purposes provided the project is properly quoted.

Date	Phase	Heure h m s T.M.G.	Période	Amplitude μ			Δ km	Remarques
				AN	AE	AZ		
Mai 26	c	11 44						
	MNE	47						
	ME	58,5						
	F	12 15						
Mai 27	e	03 54 18						Agitation. Entre Timor et Flores 9° S, 123,5° E (A. Sc. URSS).
	e	04 03,4						
	F	15						
Mai 27	eP'	06 17 07					12200	Nouvelle Guinée
	ePP	18 17					110°	2° S, 141° E
	e	20 23						(USCGS).
	ePPP	21,0						
	eScPcS	24,3						
	ePS	27,5						
	ePPS	28,6						
	eSS	33,7						
	eSSS	38,3						
	eL	44						
	MN	55		27-31	125	110		
	MNE	57		28	130			
	MNE	59		19-18	60	50		
	MNE	07 01		15-16	34	32		
	MNE	02		15-14	30	28		
	F	09 15						

Juin 1947

Date	Phase	Heure h m s T.M.G.	Période	Amplitude μ			Δ km	Remarques
				AN	AE	AZ		
Juin 1	eP	11 22 00					(1620)	Début S incertain.
	eS	24(47)					(14,5°)	Au S W de la Grèce
	eL	25,5						36,3° N, 21,7° E
	ME	27,5		15	17			(BCIS).
	MNE	28,5		14-17	20	15		
	F	12						

Date	Phase	Heure h m s T.M.G.	Période	Amplitude μ			Δ km	Remarques
				AN	AE	AZ		
Juin 1	e	22 38,4						Gobi 39° N, 90° E (A. Sc. URSS).
	MN	42,5					4	
	ME	42,7					4	
	F	24						
Juin 2	eP	06 48 21						4400
	ePP	49 44						39,7°
	ePPP	50 45						
	eS	54 24						
	eSS	57,0						
	MN	07 04			11	11		
	MN	05			12	11		
	ME	06,5			12		10	
	MNE	09			12	6	7	
	F	45						
Juin 3	e	03 55,5						Traces.
	e	59						
	F	04 05						
Juin 4	P	00 32 43						1370
	eS	35 06						12,3°
	eL	35,8						
	MNE	37,5			9-7	30	30	
	MNE	38,3			6-8	17	18	
	MN	40			7	16		
	ME	40,3			7		10	
	F	01 30						
Juin 7	ePP	19 05 11						Agitation. Philip- pines 11° N, 127° E (USCGS).
	eScPcPcS	12 12						93,6°
	eSS	18 40						
	eSSS	22,5						
	eL	30						
	ME	38,5					36	
	MN	39			22		55	
	MN	42,0			16	11		
	F	21						
Juin 10	e	11 48,2						
	eL	55						
	MNE	12 04			22-19	40	4	
	MNE	07			17-19	5	3	
	F	13						
								Agitation. Réplique du précédent.

These data are considered public domain and may be freely distributed or copied for
non-profit purposes provided the project is properly quoted.

Praha

Date	Phase	Heure h m s T.M.G.	Période	Amplitude μ			Δ km	Remarques
				AN	AE	AZ		
Juin 10	ePPP	19 48 27						Açores 39° N, 29,5° W (BCIS).
	eS	52 53						
	eL	54						
	MNE	57,5	12	3	1			
	ME	20 00	13		2			
	MN	00,3	10	1				
	F	30						
Juin 12	eP	09 16 30						Moluques 1° N, 127° E (USCGS). Magnitude 7 (Pasadena).
	cP'	20 29						
	ePP	21 07						
	eScPcS	21,5						
	ePS	27 01						
	ePPS	28 05						
	e	29,6						
	e	30,5						
	eSS	35,1						
	eSSS	39,5						
	eL	44						
	MN	54	35-40	60	50			
	MNE	57	29-35	70	50			
	MNE	10 01,5	24-23	60	45			
	MNE	03,5	23-21	50	36			
	ME	05,5	19		38			
	MN	06,5	18	25				
	ME	07,5	16		20			
	F	12 30						
Juin 13	eP	12 00 03				11		Explosion à Rado- tin, 11 km au Sud de Prague; 3 tonnes de l'explosif. Détails enregistrés à l'aide d'un appareil Schweydar, $V = 46000$ environ.
	eS	00 06				0,1°		
	M	00,1	0,1 ca	1	1			
	F	00,3						

Praha

Date	Phase	Heure h m s T.M.G.	Période	Amplitude μ			Δ km	Remarques
				AN	AE	AZ		
Juin 13	cP	20 38 26						Début très faible. Mariannes 19° N, 146° E (USCGS). Magnitude 7 $\frac{1}{4}$ (Pasadena).
	ePP	42 17						
	ePPP	44,3						
	eScPcPcS	49 45						
	eSS	56,0						
	eSSS	21 00						
	eL	09						
	ME	12,5	30		48			
	MNE	15	25-27	40	40			
	MNE	21-23	15-19	32	40			
Juin 14	MN	29,5	16	30				Début très faible. Réplique du précédent.
	ME	30,0	16		25			
	F	23 45						
	ePP	00 07 45						
	eScPeS	14 21						
	ePPS	16,6						
	eSS	21 45						
	eSSS	25						
	> 180°	28,9						
	eL	36						
Juin 14	MN	39	29	15				Début très faible. Réplique.
	MNE	40,5	23-25	6	10			
	MNE	45	15	8	9			
	MNE	47,5	15	11	9			
	WN	01 25	12	1				
	WE	26,5	15		2			
	F	02 15						
	e	16 47 (20)						
Juin 14	e	49,7						
	MNE	17 23,5	16	2	2			
	MN	27	15	2				
	ME	32	15		2			
	MN	34,5	13	1				
	F	18						

These data are considered public domain and may be freely distributed or copied for non-profit purposes provided the project is properly quoted.

Date	Phase	Heure h m s T.M.G.	Période	Amplitude μ			Δ km	Remarques
				AN	AE	AZ		
Juin 19	e	02 39,3						Phases préliminaires faibles. Réplique.
	e	46,0						
	e	53,0						
	MNE	03 07,5	16-15	2	1			
	MNE	09	14-13	1	1			
	MNE	12	14-12	2	1			
	ME	17	12		1			
	MN	19,5	13	2				
	F	45						
	cP	07 48 24					10400	
Juin 19	cPP	51 39					93,6°	Mariannes 19° N, 146° E (USCGS). Magnitude 7-7 $\frac{1}{4}$ (Pasadena).
	eSePcPcS	59 (02)						
	ePPS	08 01,1						
	eSS	06 00						
	eSSS	09,5						
	ePPP							
	>180°	13,3						
	eL	18						
	MNE	22,5	32	32	30			
	MNE	25,5	26-25	16	16			
	MNE	30,5	16	11	12			
	MNE	37	12	6	5			
	F	10 15						
Juin 20-21	e	23 15,2						Début incertain. Réplique Açores 39° N, 29,5° W (BCIS).
	eL	22						
	MN	26	12	1				
	F	45						
Juin 28	e	02 11,7						Faible. Moluques 1° N, 127° E (USCGS).
	MN	14						
	F	20						
Juin 28	ePn	11 14 21					420	MZ faibles. Jura Souabe 48°15' N, 9°00' E, h = 10-20 km (Stuttgart). Magnitude 5-5 $\frac{1}{4}$ (Pasadena).
	P	14 28					3,8°	
	e(RiPS)	15 21						
	eS	15 30						
	MNE	15,9	3	4	8			
	F	30						

Praha		Juillet 1947						
Date	Phase	Heure h m s T.M.G.	Période	Amplitude μ			Δ km	Remarques
				AN	AE	AZ		
Juillet 4	e	20 12,6						MN faible.
	e	13 16						
	MN	14,5						
	ME	15,5	10			1		
	F	20						
Juillet 7	eP	22 39 22					1600	Agitation. Mer Ionienne 35,5° N, 20° E, h = 100 km (A. Sc. URSS).
	eS	42 10					14,4°	
	eL	43						
	ME	44	13			8		
	MN	44,5	10 ca	3				
	MNE	45	9	5	2			
	F	23 15						
Juillet 9	e	18 45						Faible. Pacifique 22,5° N, 124,0° E (A. Sc. URSS).
	MN	51	15					
	ME	54,5	19					
	F	19						
Juillet 10	e	10 31,1						Forte agitation. M irrég. Himalaya 34,0° N, 76,5° E (A. Sc. URSS).
	e	35,0						
	MNE	48 ca						
	F	11 15						
Juillet 12	eP	02 10 47					8440	Kouriles 45,0° N, 150,3° E (ISA). Magnitude 5 $\frac{1}{4}$, (Pasadena).
	eS	20 37					76°	
	eL	35						
	MNE	42	22	6	6			
	MN	49	14	1				
	MNE	51	16-12	2	2			
	F	03 30						
Julilet 12	eP'	12 49 27						Agitation. Tonga 20° S, 170° W (A. Sc. URSS). Magnitude 6 $\frac{1}{4}$, (Pasadena).
	ePP	52,3						
	eScPcS	53,0						
	e	13 06,0						
	e	17,0						
	eL	46						
	MN	58,5	19	3				
	ME	14 00	17		2			
	ME	04,5	19		4			
	MN	09	17	2				

These data are considered public domain and may be freely distributed or copied for
non-profit purposes provided the project is properly quoted.

Praha

Date	Phase	Heure h m s T.M.G.	Période	Amplitude μ			Δ km	Remarques
				AN	AE	AZ		
Juillet 16	MN	16,5	16	1				Début faible. Japon 32,2° N, 135,2° E (BCIS). Magnitude 5 $\frac{1}{4}$ (Strasbourg).
	F	15						
	e	19 42,5						
	eL	20 02						
	MNE	09,5		1	1			
	MNE	13,5		12	3	3		
Juillet 17	F	45	20 ca					Faible. Nouvelle Guinée 10° S, 150° E (A. Sc. URSS).
	e	04 56,3						
	e	05 05,5						
	cL	23						
	MNE	41						
	F	06 15						
Juillet 21	i	09 42 36	7-6	1	1			Mer Ionienne 36,5° N, 21,2° E (BCIS).
	MNE	45,7						
	F	10						
Juillet 23	ePP	17 33 38	12400					Iles Sandwich 56,5° S, 30° W (BCIS). Magnitude 6 $\frac{1}{4}$ (Strasbourg).
	eScPcS	38,6						
	cScPcPcS	39,4						
	ePS	42,0						
	eSS	48,3						
	eL	18 06						
	MN	11		22	1			
	MNE	12-18		17-21	7	5		
	F	19 15						
Juillet 24	e	09 27	15800					Début incertain. Ré- plique du précédent (BCIS). Magnitude 5 $\frac{1}{2}$ (Strasbourg).
	MN	39		20	3			
	ME	39,5		21		2		
	MN	40		17	3			
	F	10						
Juillet 24	eP'	12 36 23	142°					Très éloigné. Nou- velles Hébrides 18,5° S, 170° E (USCGS). Magnitude 6 $\frac{1}{4}$ (Pasadena).
	eScPcP	40,0						
	eScPcS	43 19						
	eScPcSP	49,7						
	ePS	51,2						
	e	54,5						

Praha

Date	Phase	Heure h m s T.M.G.	Période	Amplitude μ			Δ km	Remarques
				AN	AE	AZ		
Juillet 25	e	57						Nord de l'Argentine 21° S, 67° W, h = 400 km ca (USCGS).
	eSS	13 03 30						
	eL	19						
	MNE	27,5	22-23	4	6			
	MNE	35	20-19	5	6			
	MN	55	18	4				
	ME	56	20	4				
	F	15						
	ePP	19 25,8					11100	
	ePPP	28,2					100°	
Juillet 28	ScPcS	31 26						Tibet (D). 28,8° N, 93,5°E (BCIS). Magnitude 7 ca (Strasbourg).
	eScPcPcS	32 35						
	eSS	38,2						
	eSSS	43,0						
	MN	20 03	7					
	MN	10	8					
Juillet 29	MN	56	7					6770 61°
	F	21						
	e	07 44,8						
	ME	47,5	10	1				
	MN	48	8	1				
	F	08						
Juillet 29	P	13 53 44					(-1)	Tibet (D). 28,8° N, 93,5°E (BCIS). Magnitude 7 ca (Strasbourg).
	e	55 (00)					(-4)	
	ePP	56,1					(-)	
	eS	14 02 03	(20)				-110	
	e	03,2						
	e	04,0						
	eSS	06,0						
	eL	14						
	MNE	19,5	15-25	260	150			
	M	22,8	15-18	165	+105	150		
Juillet 29	M	24,0	13-19	130	75	125		
	MNE	25	12-15 ca	140	+65			
	M	27	11-15	60	70	85		

Date	Phase	Heure h m s T.M.G.	Période	Amplitude μ			Δ km	Remarques
				AN	AE	AZ		
Août 16	e	06 11,2						Golfe d'Aden? (BCIS).
	e	16,8						
	ME	21	13		2			
	F	30						
Août 17	e	09 47						Formose? (BCIS).
	e	48						
	MNE	58,5	12-13	1	2			
	MNE	10 08	13-12	1	1			
Août 17	F	30						
	e	15 09,2						M irrég. Mer Ionienne vers 37,5° N, 19,7° E (BCIS).
	MNE	12						
	F	30						
Août 19	e	20 27,0						Himalaya? (BCIS).
	MNE	37	12	1	1			
	F	50						
Août 22	e	03 38,5						Très éloigné. Pacific Sud (BCIS).
	eL	40,5						
	MNE	47	17-16	2	1			
	F	04 15						
Août 23	eL	05 08						Birmanie? (BCIS).
	MN	12,5	20	5				
	MN	14	22	5				
	ME	16	19		1			
Août 24	F	45						
	eP	11 45(29)					5000	S int. min. Tian-
	ePP	47 21					45°	Chan vers 43° N, 82° E (BCIS).
	eS	52 15						
Août 26	eSS	55,5						
	eL	58						
	MNE	12 02	6	10	4			
	F	45						
Août 26	e	06 05,4						
	MNE	06,5	9-10	1	1			
	F	15						

Date	Phase	Heure h m s T.M.G.	Période	Amplitude μ			Δ km	Remarques
				AN	AE	AZ		
Août 27	e	13 58 55						Nouvelle Zélande
	cPP	14 02 41						42° S, 179° E (USCGS).
	eScPcS	05,0						Magnitude 6 $\frac{1}{4}$ (Pasadena).
	e	08 13						
	e	10,0						
	ScPcSP	12,5						
	e	14,6						
	e(PPS)	16,8						
	eSS	14 22,7						
	eSSS	29,5						
	e	33,0						
	eL	44						
	MNE	15 04		24	6	7		
	MN	09		22	5			
	ME	10		19		6		
	MNE	15		17-20	5	7		
	ME	18		16		3		
	MN	20		17	4			
	ME	21,5		16		5		
	F	16 30						
Août 28	P	07 02 01				(-)		8100
	eS	11 34						72,9°
	eL	22						Kamtchatka 50° N, 155° E (USCGS).
	ME	29,5		26		24		
	MNE	33		24	17	22		
	M	36		21		24		
	MN	38,5		18	28			
	F	08 30						
Août 28	P	14 41 (00)					(7960)	P int. min. Réplique.
	eS	50 26					(71,7°)	
	ePS	51,4						
	eL	15 03						
	ME	10		27		19		
	MNE	12		23-21	22	19		
	MNE	14,5		17-14	12	7		
	MNE	18,5		15-12	10	3		
	F	16 15						

Praha

Date	Phase	Heure h m s T.M.G.	Période	Amplitude μ			Δ km	Remarques
				AN	AE	AZ		
Août 28	e	20 (06)						Faible. Côte du Chili central 29,5°S, 71°W (USCGS). Magnitude 6 ½ ca (Pasadena).
	MN	50	22					
	ME	53	20					
	F	21 15						
Août 30	iP	22 25 25	5-7	+3	-1	-6	1720	Mer Egée D 35,8° N, 23,7° E (BCIS).
	ePP	26,1					15,5°	
	eS	28 22						
	eSS	29,0						
	eL	29,5						
	ME	31,0	6		40			
	MZ	31,5	8			12		
	M	32,0	7-8	-45	-55	13		
	MN	32,5	10	50				
	F	23 30						

Septembre 1947

Date	Phase	Heure h m s T.M.G.	Période	Amplitude μ			Δ km	Remarques
				AN	AE	AZ		
Septembre 1	e(P)	22 21 (05)					(1370) (12,3°)	Début faible. Mer Tyrrhenienne 39,5° N, 15° E, h = 250-280 km (BCIS).
	eS	23 28						
	F	30						
Septembre 2	eP'	14 52 04					MN faibles. Epicentre 20° S, 179° W, h = 200 km ca (USCGS).	Très éloigné. Iles Salomon 11° S, 162° E (USCGS). Magnitude 6 ½ (Pasadena).
	eScPcPcS	15 02 00						
	MNE	16	16		4			
Septembre 3	F	16						
	ePP	19 18 09						
	e	18,8						
	eSS	35,4						
	eL	54						
	ME	20 05	23		6			

Praha

Date	Phase	Heure h m s T.M.G.	Période	Amplitude μ			Δ km	Remarques
				AN	AE	AZ		
Septembre 4	MN	10,5		25	6			Samoa 15° S, 174° W (USCGS). Magnitude 6 ½ ca (Pasadena).
	ME	12		22				
	MN	15		18	3			
	ME	17		18				
	F	21 15						
Septembre 10	eL	01 44						Agitation. Région épicentrale Chine méridionale (BCIS). Magnitude 5 ½ (Pasadena).
	MN	57		16	1			
	ME	58		19				
	F	02 45						
Septembre 13	e	00 06,7						Agitation. Mer Ionienne 38° N, 20° E (Trieste).
	e	15,0						
	eL	20						
	MN	26		20	4			
	MNE	27		17-18	3	2		
Septembre 17	F	01						Agitation. Crête médiane de l'Atlantique 5° N, 25° W (Trieste).
	eP	15 14 18						
	eS	16,8						
	MNE	19,5	7-9		3	5		
Septembre 19	F	45						Début très faible. (1700)? (15,3°)
	eS	18 05 32						
	eL	12						
	MNE	20,5	21-19		4	2		
Septembre 23	F	19 15						D Agitation. Iran 33,5° N, 59° E (BCIS). Magnitude 6 ½ (Pasadena)
	eP	07 38 (27)						
	eS?	41 20						
	eL	42,5						
Septembre 23	MNE	44	5-6		1	1		
	F	08						
	P	12 35 21						
	ePP	36 28						
	ePPP	37,3						
	eS	41 09						
	eL	45						
	ME	53	15		53			

Date	Phase	Heure h m s T.M.G.	Période	Amplitude μ			Δ km	Remarques
				AN	AE	AZ		
Sept. 25-26	MNE	54,5	14-11	100	28			Masqué par l'agitation. Deux séismes? (BCIS). Magnitude 6 ½ ca (Strasbourg).
	MN	55,5	14	110				
	MNE	57	11-10	60	24			
	MNE	13 02	13	70	35			
	F	15 30						
	e	23 57,0						
	eL	00 15						
	MNE	26	21-22	7	2			
	MNE	28	25-23	11	8			
	MNE	32	21-19	6	6			
	MNE	34	17-16	8	6			
	ME	36	19		8			
	MNE	37	16-18	2	8			
	MNE	42	17-18	3	5			
Septembre 26	F	01 30		—				
	e	03 20,3						Début masqué par l'agitation. Iran, réplique du 23 Septembre (BCIS).
	e	25,0						
	e	26,0						
	eL	27						
	ME	29	16		6			
	MNE	31	13-12	7	2			
Septembre 26	F	04 15						
	P	16 14 12					8760	Formose 24,5° N, 122,3° N, h = 100 km (BCIS). Magnitude 7 ¼ (Pasadena).
	ePP	17 17					79°	
	ePPP	19 18						
	iS	24 17						
	ePS	25,1						
	eSS	29,0						
	eL	35						
	MNE	45,5	9	22	7			
	MNE	50	16-14	30	13			
	MNE	58	14-15	13	22			
	MNE	17 02,5	11	6	6			
	F	18						

Date	Phase	Heure h m s T.M.G.	Période	Amplitude μ			Δ km	Remarques
				AN	AE	AZ		
Octobre 3	P	06 21 27						Béloutchistan 28° N, 63° E, h = 300 km (BCIS).
	ePPP	23,2						
	eS	27 37						
	eSS	30,3						
	eSSS	31,4						
	eL	34						
	MNE	37,5	24-26	9	10			
	MN	39	21-20	11	7			
	MNE	43	15-14	4	5			
	F	07 30						
Octobre 3-4	iScPcS	23 55 43						Agitation. Mexique 19° N, 102° W, h = 100 km (USCGS). Magnitude 7 ca (Pasadena).
	eScPcPcS	56 15						
	ePS	57 15						
	eL	00 13						
	MNE	19	32-36	9	12			
	ME	25,5	23					
	F	01						
Octobre 5	ePP	19 00,2						Nouvelle Guinée 4° S, 138 5° E (BCIS). Magnitude 6 ¾ (Strasbourg).
	eScPcS	06,4						
	eScPcPcS	07,4						
	ePPS	11,6						
	eSS	16,0						
	eSSS	21,0						
	eL	34						
	MNE	38,5	29-28	15	12			
	MNE	40,5	23	7	6			
	MNE	42	21-18	8	4			
Octobre 6	F	21 30						Agitation. Béloutchistan? (BCIS).
	e	15 34 15						
	eL	40						
	ME	42,5	17					
	MNE	45	14-15	3	1			
Octobre 6	F	16						

Date	Phase	Heure h m s T.M.G.	Période	Amplitude μ			Δ km	Remarques
				AN	AE	AZ		
Octobre 6	P	19 58 58	4	+1	-1	+	1540	Azimut 140° C
	eS	20 01 38					13,9°	Grèce 36,5° N, 21,9° E (Athènes).
	eL	02,5						Magnitude 7 (Pasadena).
	M	04	25-24	430	650	750		
	M	05,5	17-19	560	420	900		
	M	06,5	15-16	190	140	500		
	MNE	08	13-15	85	100			
	MNE	11	15-13	75	65			
	W	23 06	17-20	2	3			
	F	30						
Octobre 7	e	19 04						Faible.
	ME	05,5	12		1			
	MN	06	14	1				
	MN	13	13	1				
	F	20						
Octobre 9	e	16 42,5						
	eL	45						
	MNE	46	12-11	1	1			
	MN	47	7	1				
	F	17						
Octobre 10	e	07 45 02						Agitation. Japon
	eS	53 49						40° N, 144° E, h = 300 km.
	eSS	58,8						Magnitude 6 $\frac{1}{4}$ ca (Pasadena).
	eSSS	08 02,0						(Δ = 8400 km, 75,5°).
	eL	09						
	ME	15,5	21		6			
	MNE	16,5	14-15	6	6			
	MNE	18	13-12	5	4			
	MNE	19,5	12-13	4	7			
	MNE	21	11-12	5	5			
Octobre 10	F	09						
	e(PPS)	14 20,4						Agitation. Très
	e(SS)	27,0						éloigné. Iles Kerma-
	e	34,5						dec 30° S, 180°
	eL	15 09						(USCGS). Magni-
	MN	23,5	19	1				tude 6 $\frac{1}{4}$ ca (Pas- adena).
	MNE	27	19-16	2	1			(Δ = 17600 km, 158°).
	MNE	36	20-17	1	3			
	MNE	40	17-16	3	4			
	F	16 30						

Date	Phase	Heure h m s T.M.G.	Période	Amplitude μ			Δ km	Remarques
				AN	AE	AZ		
Octobre 14	e	03 08						Noyé dans l'agita-
	e	12,6						tion. Réplique 32° S,
	MNE	25,5	16-14	2	1			180° (USCGS).
	MN	27	17	1				Magnitude 6 $\frac{3}{4}$
	MNE	46	14	1	1			(Pasadena).
	F	04						
	e	22 52						Traces. Agitation.
	MN	53,5	9	1				
	MNE	54,5	9-8	1	1			
	F	23 20						
Octobre 16	iPN	02 20 28	4	-1			7150	Agitation. Alaska
	ePP	23,0					64,4°	central 64,5° N,
	ePPP	24,7						147,5° W (BCIS).
	eS	29,1						Magnitude 7 $\frac{1}{4}$ ca
	eSS	33,2						(Pasadena).
	e	36,7	21-27	45	80			
	eL	39						
	MN	41,5	58	400				
	ME	42,5	28				110	
	MNE	44	22-24	42	55			
Octobre 17	MNE	55	16-19	45	65			
	03 01,5	15-16	30	40				
	F	05 30						
	e	09 54						Agitation.
	MN	55,5	18					
	F	10						
	P	01 54 (03)					7100	P int. min. Agita-
	eS	02 02 40					63,9°	tion. Alaska central
	eSS	07,3						64,5° N, 147,5° W
	eSSS	10,0						(BCIS). Magnitude
Octobre 20	eL	14						6 $\frac{3}{4}$ (Pasadena).
	MNE	19	24-20	6	5			
	MNE	23	18-15	5	2			
	ME	27,5	20				5	
	ME	29,5	16				7	
	MNE	32	20-18	5	6			
	F	03 30						

Date	Phase	Heure h m s T.M.G.	Période	Amplitude μ			Δ km	Remarques
				AN	AE	AZ		
Octobre 21	eL	10 24						Japon (BCIS).
	MNE	30	15-14	1	1			
	MNE	31	13	1	1			
	ME	39	11		1			
	F	11						
Octobre 22	e	18 27						Traces. Pacifique Sud 10° S, 151,5° E (BCIS).
	MNE	41,5	16					
	F	19						
Octobre 27	e	10 35 44						Agitation. Epicentre au Sud de la Sar- daigne 38° N, 8° E (BCIS).
	cL	36,6						
	MNE	38	13-14	1	2			
	MNE	39	12-10	1	1			
	F	50						

Novembre 1947

Date	Phase	Heure h m s T.M.G.	Période	Amplitude μ			Δ km	Remarques
				AN	AE	AZ		
Novembre 1	e	06 13 36					10 000 ca 90°	Agitation. Phases du début incertaines. Sumatra 4° S, 102° E (BCIS).
	ePP	17,0						
	eScPcS	23,3						
	eScPcPcS	23,8						
	eSS	30						
	eL	43						
	MNE	53,5	25-23	6	3			
	MN	55	20	5				
	MNE	59	19-17	5	3			
	MNE	07 03	20-19	7	6			
Novembre 1	F	08						
	P	15 12 30					11 000 ca 99°	Pérou 11,0° S, 74,5° W (BCIS).
	ePPP	19 00						
	eScPcS	23 12						
	ePS	25,2						
	eSS	31,0						
	eL	37						

Date	Phase	Heure h m s T.M.G.	Période	Amplitude μ			Δ km	Remarques
				AN	AE	AZ		
Novembre 2	ME	39		20			8240 74°	Agitation. Faible. Californie 40° N, 127° W (USCGS). Agitation. Mer du Japon 44,7° N, 140,7° E (BCIS).
	MN	41		72				
	MNE	45		28-26	48	18		
	MNE	47		19-23	32	20		
	MNE	54		17-19	28	42		
	ME	16 01,5		15				
	MN	03		16	44			
	F	19						
	e	07 23,1						
	e	25,3						
Novembre 4	MN	32		17				
	F	08						
	eP	00 20 57						
	eS	30 37						
	ePS	31 07						
	eSS	36 00						
	eSSS	39 30						
	cL	43						
	MNE	51,5		19-20	55	60		
	MNE	53,5		20-23	60	100	150	
Novembre 6	M	57,5		13-12	70	25		
	ME	59,6		9		23	60	
	M	01 04		9-11	16	28		
	F	02 30						
	e	16 21 45						
	eL	25,5						
Novembre 8	MNE	26,5		17	3	7		
	ME	27		8		2		
	MN	27,7		11	2			
	F	50						
	e	02 18 34						
	e	21,6						
	eL	22,6						
	ME	23,3		13		1		
	MNE	24		6-9	1	1		
	F	40						

Agitation.

Documentation preserved at the Geophysical Institute of the Academy of Sciences of the Czech Republic (Prague), reproduced on 2005 by SGA Storia Geofisica Ambiente (Bologna) on behalf of the Istituto Nazionale di Geofisica e Vulcanologia (Rome), in the frame of the EUROSEISMOS project.

These data are considered public domain and may be freely distributed or copied for non-profit purposes provided the project is properly quoted.

48

Praha

Date	Phase	Heure h m s T.M.G.	Période	Amplitude μ			Δ km	Remarques
				AN	AE	AZ		
Décembre 29	e	06 36,5						
	ME	46,5	16		1			
	MN	49,5	15	1				
	ME	50,5	14		1			
	F	07 15						
	eN?	18 11 23						Forte agitation.
	eE?	14 12						
	e?	16 10						
	e	18 03						
Décembre 30	e	24,7						
	MN	26,5	12	1				
	ME	27,5	12		2			
	F	45						
	e	07 12						Agitation.
Décembre 31	ME	16,5 ?	16		3			
	ME	18	14		2			
	F	30						
	e	05 29 23						Début masqué par l'agitation. Atlantique vers 60° N, 32° W (BCIS).
	e	34,5						
	eL	45						
	MN	46,5	16	4				
	ME	48,5	14		2			
	MNE	52,5	9	1	1			
	F	06 10						
Décembre 31	e	16 10,7						Agitation. Région des Samoa 15° S, 176° W (USCGS). Magnitude 6 $\frac{1}{4}$ (Pasadena).
	eL	17						
	MN	21	25	4				
	ME	24,5	21		4			
	ME	26,5	20		-3			
	MN	29	20	4				
	MNE	34	18-19	2	2			
	F	17						